



UNIVERSIDADE DO MINHO
ESCOLA DE ENGENHARIA

Escalabilidade e Telemetria de Infraestruturas

Ana Marta Santos Ribeiro A82474
Jéssica Andreia Fernandes Lemos A82061
Miguel José Dias Pereira A78912

MIEI - 4º Ano - Infraestruturas de Centro de Dados
Braga, 24 de Outubro de 2020

Conteúdo

Conteúdo	1
1 Introdução	2
2 Análise dos Componentes da Infraestrutura	3
3 Arquitetura do Sistema	4
4 Web Servers	5
5 Balanceamento de Carga	5
6 Storage	6
7 Cluster	6
8 Testes de carga	12
8.1 Login	12
8.2 Candidatura	16
8.3 Resultados da Candidatura	20
9 Conclusão	23

1 Introdução

Para obtermos uma alta disponibilidade de um serviço numa infraestrutura é essencial o estudo e a análise do mesmo. Assim, é possível escalar o serviço em caso de alteração da carga do sistema e ainda podemos eliminar pontos de falhas únicos.

O objetivo deste projeto consiste em analisar a plataforma *Tucano* que é utilizada para realização da distribuição de alunos por opções, baseada na escolha destes.

Com o intuito de caracterizar o processo de desenvolvimento do sistema começamos por analisar o problema em questão bem como todos os seus componentes. Posteriormente, apresentamos e explicamos a arquitetura definida cujo principal objetivo é fornecer um serviço escalável, sem pontos de falha únicos e que seja tolerante a falhas. De seguida, expomos o processo de implementação da infraestrutura. Por fim, de modo a avaliar o desempenho do *Tucano*, exibimos os resultados dos testes de carga antes e depois da implementação da arquitetura.

2 Análise dos Componentes da Infraestrutura

O objetivo deste projeto consiste em avaliar o desempenho da aplicação **Tucano**, que é a plataforma utilizada para a realização da distribuição de alunos por opções, baseada na escolha destes. Desta forma, é necessário implementar uma estrutura com o intuito de realizarmos testes de carga anteriormente e posteriormente ao seu desenvolvimento para que seja possível comparar os resultados obtidos.

Esta aplicação é constituída por 2 componentes:

- *backend*
- *frontend*

Para o armazenamento dos dados desta aplicação é utilizado um Sistema de Gestão de Base de Dados *PostgreSQL*.

Desta forma, na secção seguinte iremos apresentar a estrutura que permite a elevada escalabilidade e disponibilidade do serviço.

3 Arquitetura do Sistema

Com o intuito de realizar o planeamento da estrutura é fundamental definir a arquitetura do sistema bem como analisar as características pretendidas para o serviço. Desta forma, iremos ter em atenção a resiliência da infraestrutura quanto à tolerância a falhas, a escalabilidade, bem como a identificação e eliminação dos SPOFs.

Assim sendo, optamos por projetar a arquitetura em várias camadas, que serão descritas em secções posteriores. A camada de apresentação é constituída por dois servidores web onde se encontram os serviços de *frontend* responsáveis por disponibilizar a interface ao utilizador. O balanceamento da carga é realizado recorrendo aos LVS. De modo a disponibilizar os serviços de *backend* e *Postgres* implementamos um *High Availability Cluster*. Para realizar o armazenamento dos dados recorreremos DRDBs que em conjunto com o protocolo *iSCSI* torna possível o acesso pela rede.

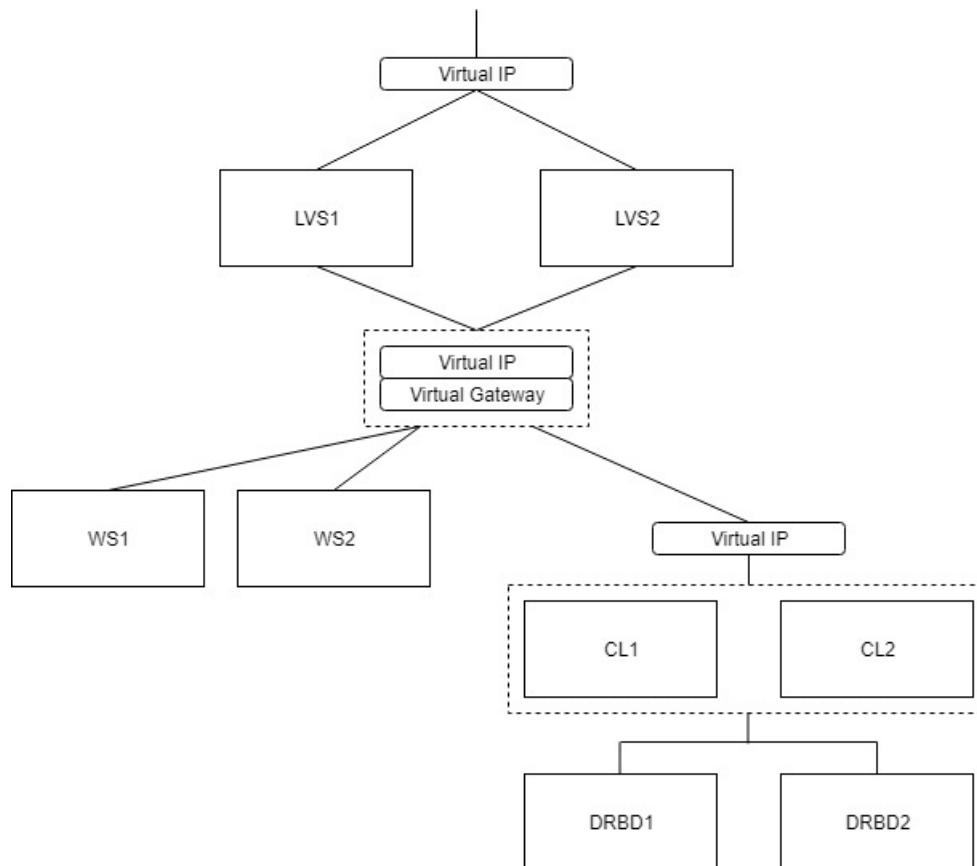


Figura 1. Arquitetura do Sistema

4 Web Servers

Nesta camada é onde se encontra o *frontend* da aplicação, e assim sendo é um ponto crucial, pois todas as interações do utilizador com as páginas web são dirigidas ao *frontend*.

Como tal, esta camada foi pensada para ser facilmente escalável, de modo a prevenir eventuais picos de carga, uma vez que para adicionar um novo *web server* apenas temos de alterar a configuração do *keepalived* no balanceador de carga.

Para configurar o *frontend* da aplicação nesta arquitetura, apenas é necessário definir o endereço relativo ao *backend* no ficheiro *.env*, que corresponde ao IP Virtual definido para o balanceador de carga na configuração do *keepalived*:

```
1 REACT_APP_API=http://192.168.6.200:4001/api
```

5 Balanceamento de Carga

O balanceamento de carga é realizado recorrendo a um LVS, que recebe as conexões dos utilizadores da aplicação, e redireciona os pedidos consoante a porta nos quais os recebe.

Com apenas um LVS estaríamos perante um eventual SPOF, e assim sendo fazemos uso de dois LVS em *failover*, um *master*, que fica encarregue do balanceamento/encaaminhamento, e um *backup*, que fica em *standby* até que o outro falhe.

Para obtermos esta configuração fazemos uso do protocolo *VRRP* e do software *Keepalived*, que fazem a gestão dos IPs Virtuais e o balanceamento de carga recorrendo ao algoritmo *round-robin*. A utilização do *Keepalived* permite inserir *web servers* adicionais simplesmente alterando a configuração do *Keepalived*, caso seja necessário aumentar a performance dos mesmos.

Obtemos então a seguinte tabela de servidores virtuais com a configuração do *Keepalived*:

```
[root@lvs1 ~]# ipvsadm -ln
IP Virtual Server version 1.2.1 (size=4096)
Prot LocalAddress:Port Scheduler Flags
-> RemoteAddress:Port Forward Weight ActiveConn InActConn
TCP 192.168.6.200:3000 rr
-> 10.10.10.10:3000 Masq 1 0 0
-> 10.10.10.11:3000 Masq 1 0 0
TCP 192.168.6.200:4001 rr
-> 10.10.10.50:4001 Masq 1 0 0
```

Figura 2. Servidores virtuais

Temos assim os redirecionamentos dos pedidos na porta 3000 para os *web servers*, *frontend*, e na porta 4001 para os *clusters*, *backend*.

6 Storage

Para o armazenamento da informação produzida pelo *backend* da aplicação utilizamos o serviço de replicação de dados *DRBD*, utilizando duas máquinas em modo multi-primário. A utilização do protocolo *iSCSI multipath* nos *DRBD*, permite generalizar o acesso aos mesmos, e como funciona em *failover*, na eventualidade de um dos componentes ou caminhos falhar, automaticamente seleciona outro pelo qual enviar a informação.

7 Cluster

Nesta camada construímos um *High Availability Cluster*, constituído por dois *nodes*. Como referido na secção anterior utilizamos o protocolo *iSCSI multipath* para aceder aos *DRBDs*:

```
[root@cl1 ~]# multipath -ll
mptatha (360014057c96ae183918409a844ef1d63) dm-2 LIO-ORG ,d1
size=1024M features='0' hwhandler='0' wp=rw
|-+- policy='service-time 0' prio=1 status=active
| '- 3:0:0:0 sdc 8:32 active ready running
'+- policy='service-time 0' prio=1 status=enabled
' - 4:0:0:0 sdb 8:16 active ready running
[root@cl1 ~]# lsscsi
[0:0:0:0] disk VMware, VMware Virtual S 1.0 /dev/sda
[2:0:0:0] cd/dvd NECUMar VMware IDE CDR10 1.00 /dev/sr0
[3:0:0:0] disk LIO-ORG d1 4.0 /dev/sdc
[4:0:0:0] disk LIO-ORG d1 4.0 /dev/sdb
```

Figura 3. iSCSI multipath

De seguida foram criadas 2 partições sendo uma para a base de dados e outra para o *backend*. Outra opção seria ter apenas 1 partição para a base de dados e o *backend* encontrando-se localmente em cada máquina. Contudo a solução adotada permite uma maior escalabilidade, pois qualquer alteração que seja efetuada nas configurações do *backend* não terá de ser repetida em cada máquina.

```

[root@cl1 ~]# lsblk

```

NAME	MAJ:MIN	RM	SIZE	RO	TYPE	MOUNTPOINT
sda	8:0	0	20G	0	disk	
└─sda1	8:1	0	1G	0	part	/boot
└─sda2	8:2	0	19G	0	part	
└─centos_endpriv131-root	253:0	0	17G	0	lvm	/
└─centos_endpriv131-swap	253:1	0	2G	0	lvm	[SWAP]
sdb	8:16	0	1024M	0	disk	
└─mpatha	253:2	0	1024M	0	mpath	
└─mpatha1	253:3	0	500M	0	part	/mnt/db
└─mpatha2	253:4	0	523M	0	part	/mnt/backend
sdc	8:32	0	1024M	0	disk	
└─mpatha	253:2	0	1024M	0	mpath	
└─mpatha1	253:3	0	500M	0	part	/mnt/db
└─mpatha2	253:4	0	523M	0	part	/mnt/backend
sr0	11:0	1	4,4G	0	rom	

Figura 4. Partições

Depois de configurados a base de dados, *PostgreSQL*, e o *backend*, em cada uma das partições, procedemos à configuração dos recursos dos *clusters* através da interface web do *Pacemaker*.

No primeiro grupo, *db*, temos os recursos relacionados com a base de dados: IP Virtual, *filesystem* e *PostgresSQL*.

<input checked="" type="checkbox"/>	✓	db	Group
<input checked="" type="checkbox"/>	✓	db_ip	ocf:heartbeat:IPaddr2
<input checked="" type="checkbox"/>	✓	db_fs	ocf:heartbeat:Filesystem
<input checked="" type="checkbox"/>	✓	db_pg	ocf:heartbeat:pgsql

Figura 5. Recursos base de dados

Edit Resource db_ip

db_ip ✓ running

✓ Enable ✗ Disable ↻ Cleanup ↻ Refresh ✗ Remove
✓ Manage ✗ Unmanage

Type: ocf:heartbeat:IPaddr2
Description: Manages virtual IPv4 and IPv6 addresses (Linux specific version) ⓘ
Current Location: cl1
Group: db before db_fs
Update group Refresh

▼ Required Arguments

ip ⓘ 10.10.10.40

Figura 6. IP Virtual

Edit Resource db_fs

db_fs ✓ running

✓ Enable ✗ Disable ↻ Cleanup ↻ Refresh ✗ Remove
✓ Manage ✗ Unmanage

Type: ocf:heartbeat:Filesystem
Description: Manages filesystem mounts ⓘ
Current Location: cl1
Group: db after db_ip
Update group Refresh

▼ Required Arguments

device ⓘ /dev/mapper/mpatha1
directory ⓘ /mnt/db
fstype ⓘ xfs

Figura 7. Filesystem

Edit Resource db_pg

db_pg ✓ running

✓ Enable ✗ Disable ↻ Cleanup ↻ Refresh ✗ Remove
 ✓ Manage ✗ Unmanage

Type: ocf:heartbeat:pgsql
Current Location: cl1
Group: db after db_fs
 Update group Refresh

Figura 8. PostgreSQL

No segundo grupo, *tupi*, temos os recursos relacionados com o *backend*: IP Virtual, *filesystem* e *myserv*.

<input type="checkbox"/>	<input checked="" type="checkbox"/>	tupi	Group
<input type="checkbox"/>	<input checked="" type="checkbox"/>	tupi_ip	ocf:heartbeat:IPAddr2
<input type="checkbox"/>	<input checked="" type="checkbox"/>	tupi_fs	ocf:heartbeat:Filesystem
<input type="checkbox"/>	<input checked="" type="checkbox"/>	tupi_run	systemd:myserv

Figura 9. Recursos backend

Edit Resource tupi_ip

tupi_ip ✓ running

✓ Enable ✗ Disable ↻ Cleanup ↻ Refresh ✗ Remove
 ✓ Manage ✗ Unmanage

Type: ocf:heartbeat:IPAddr2
Description: Manages virtual IPv4 and IPv6 addresses (Linux specific version)
Current Location: cl1
Group: tupi before tupi_fs
 Update group Refresh

▼ Required Arguments

ip 10.10.10.50

Figura 10. IP Virtual

Edit Resource tupi_fs

tupi_fs ✓ running

✓ Enable ✗ Disable ↻ Cleanup ↻ Refresh ✗ Remove
✓ Manage ✗ Unmanage

Type: ocf:heartbeat:Filesystem
Description: Manages filesystem mounts ⓘ
Current Location: cl1
 tupi ▼ after ▼ tupi_ip ▼
Group: Update group Refresh

Required Arguments

device ⓘ /dev/mapper/mpatha2
 directory ⓘ /mnt/backend
 fstype ⓘ xfs

Figura 11. Filesystem

Edit Resource tupi_run

tupi_run ✓ running

✓ Enable ✗ Disable ↻ Cleanup ↻ Refresh ✗ Remove
✓ Manage ✗ Unmanage

Type: systemd:myserv
Description: systemd unit file for myserv ⓘ
Current Location: cl1
 tupi ▼ after ▼ tupi_fs ▼
Group: Update group Refresh

Figura 12. Myserv

Este último é um serviço criado para correr o servidor do *backend* na porta 4001, sendo que o *script* é o seguinte:

```
#!/bin/bash

if [ -d /mnt/backend/tupi/ ]; then
  cd /mnt/backend/tupi/
  echo "export PATH=$PATH:/opt/elixir/bin" >> /home/$USER/.bashrc
  source /home/$USER/.bashrc
  echo $PATH
  export HOME=/
  mix do local.hex --force
  MIX_ENV=prod PORT=4001 elixir -S mix do compile, phx.server
fi
```

Figura 13. Myserv script

Finalmente temos os dois *clusters*, cl1 e cl2, prontos a correr os serviços:

Edit Node cl1

cl1

✓ Pacemaker Connected
✓ Corosync Connected

Start Stop Restart Standby Maintenance Configure Fencing

Node ID: 1 Uptime: 0 days, 10:26:12

Cluster Daemons

NAME	STATUS
pacemaker	✓ Running (Enabled)
corosync	✓ Running (Enabled)
pcsd	✓ Running (Enabled)

Running Resources

NAME
tupi_run (systemd:myserv)
tupi_ip (ocf:heartbeat:IPAddr2)
tupi_fs (ocf:heartbeat:Filesystem)
db_pg (ocf:heartbeat:pgsql)
db_ip (ocf:heartbeat:IPAddr2)
db_fs (ocf:heartbeat:Filesystem)

Figura 14. Cl1

Edit Node cl2

cl2

✓ Pacemaker Connected
✓ Corosync Connected

Start Stop Restart Standby Maintenance Configure Fencing

Node ID: 2 Uptime: 0 days, 10:26:33

Cluster Daemons

NAME	STATUS
pacemaker	✓ Running (Enabled)
corosync	✓ Running (Enabled)
pcsd	✓ Running (Enabled)

Running Resources

NAME
NONE

Figura 15. Cl2

8 Testes de carga

Para realizarmos testes de carga ao **Tucano** recorreremos à ferramenta *Apache JMeter*, uma das mais utilizadas para medir a performance de um sistema e que oferece uma interface gráfica para a criação, execução e análise de testes.

De forma a avaliar o desempenho da aplicação optamos por realizar três testes, nomeadamente, ao login por parte dos alunos, o processo da candidatura por parte dos mesmos e ainda a obtenção dos resultados do *contest* e o envio dos mesmos.

Para a apresentação dos resultados optamos por apresentar os gráficos resultantes antes e depois da implementação da arquitetura do sistema.

8.1 Login

Este teste é bastante simples em que apenas realizamos o processo de autenticação com 30 alunos. Para tal, no *JMeter*, utilizamos uma thread para cada um.

Através da análise de ambos os gráficos *Transactions per second*, na **Figura 16** e **Figura 17**, é possível verificar que têm um comportamento semelhante embora o número de transações por segundo sem a arquitetura varia entre 4 e 5 enquanto que com a arquitetura entre 3 e 4. Pelo que podemos concluir que com a arquitetura existe, em média, um menor número de transações durante o *login*.

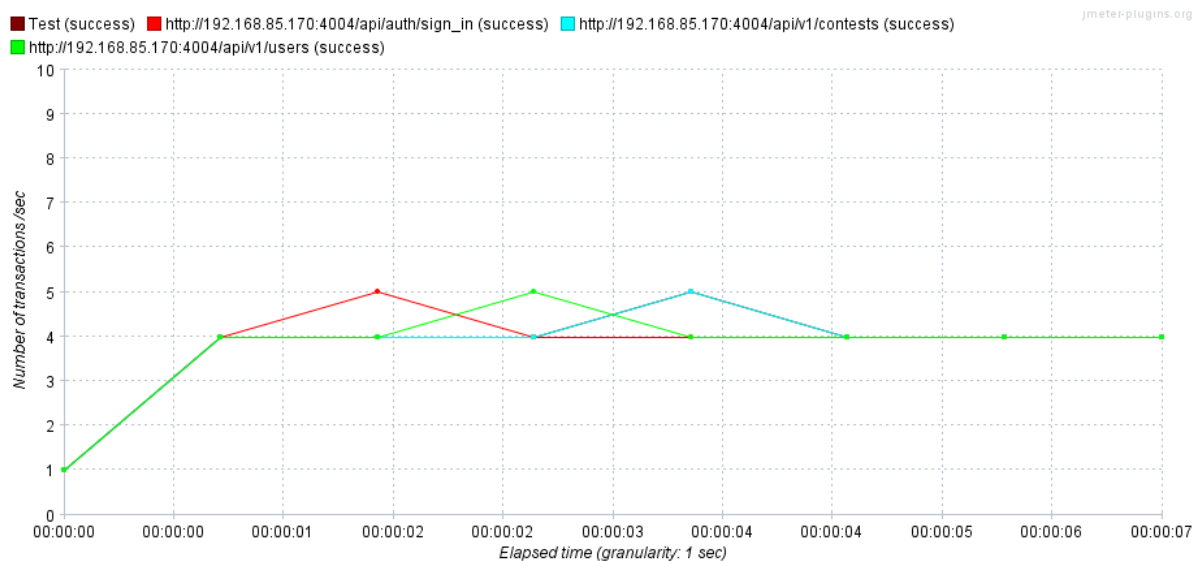


Figura 16. Transactions per second sem arquitetura

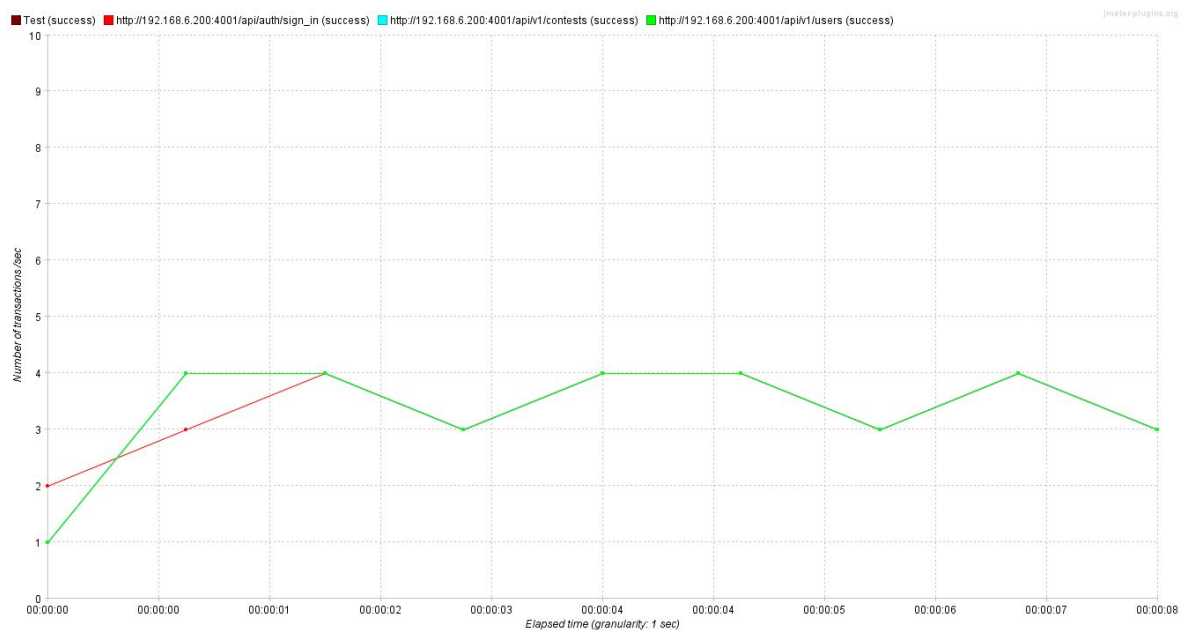


Figura 17. Transactions per second com arquitetura

Como podemos verificar nos gráficos das **Figura 18** e **Figura 19**, a latência da resposta ao longo do tempo vai aumentando, sendo que a latência verificada antes da implementação da arquitetura é menor que depois da mesma para os mesmos intervalos de tempo.

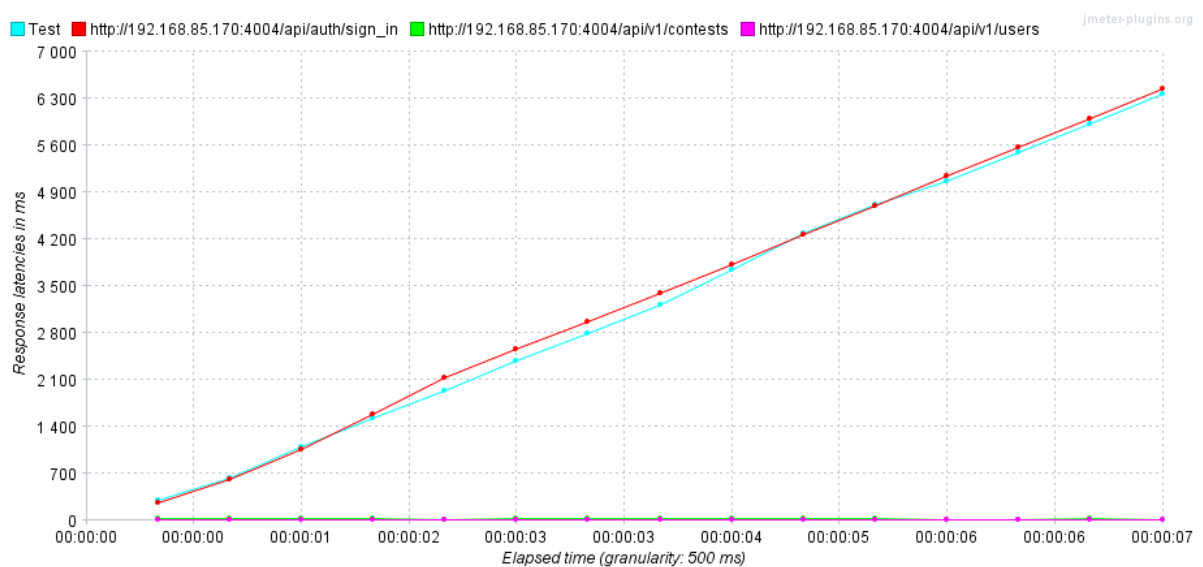


Figura 18. Response Latencies Over Time sem arquitetura

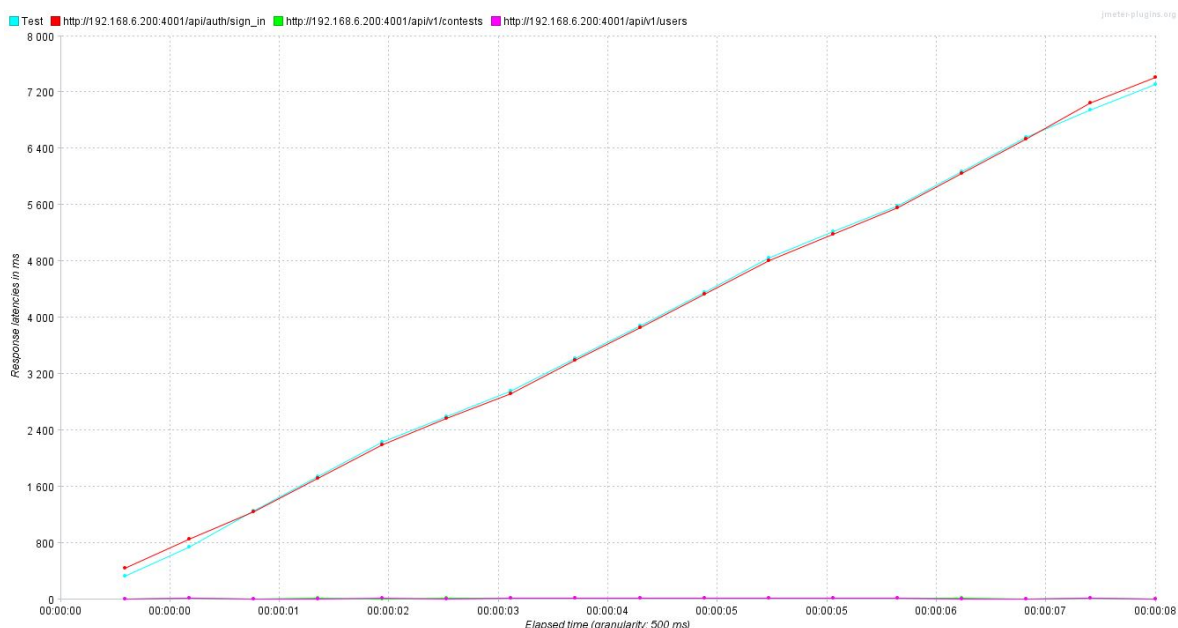


Figura 19. Response Latencies Over Time com arquitetura

Os gráficos apresentados na **Figura 20** e **Figura 21** representam o tempo de resposta em função do número de threads. Estes permitem identificar quando a aplicação passa a ter uma performance inferior ao esperado, ou seja, o tempo de resposta para o número de utilizadores começa a aumentar. Pela observação de ambos os gráficos verificamos que apresentam um comportamento semelhante, o que se reflete em tempos médios também muito idênticos.

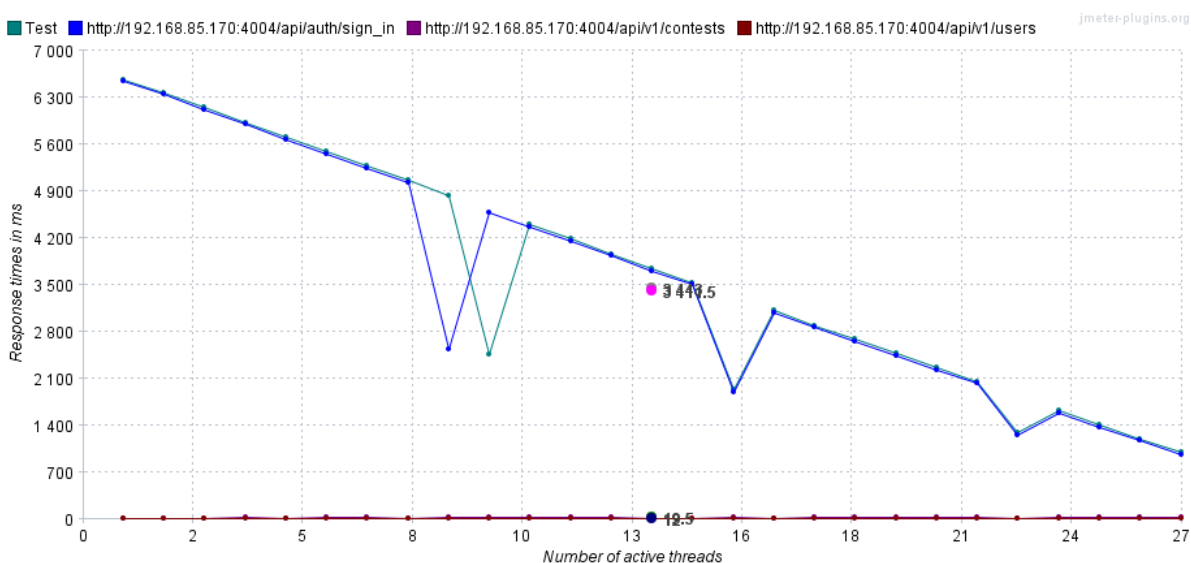


Figura 20. Response Time vs Threads sem arquitetura

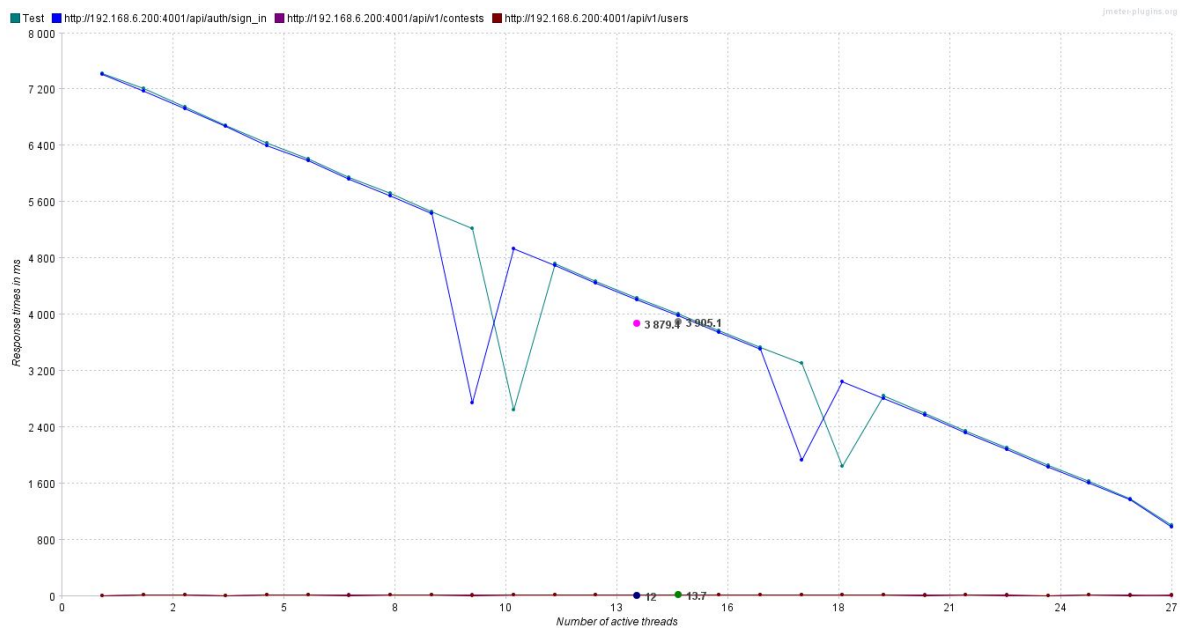


Figura 21. Response Time vs Threads com arquitetura

Na **Figura 22** e **Figura 23** conseguimos visualizar o número de transações por número de threads. Nos dois gráficos é possível constatar que o número tem tendência a aumentar com o número de threads. Contudo, com a implementação da arquitetura o número de transações é consideravelmente superior.

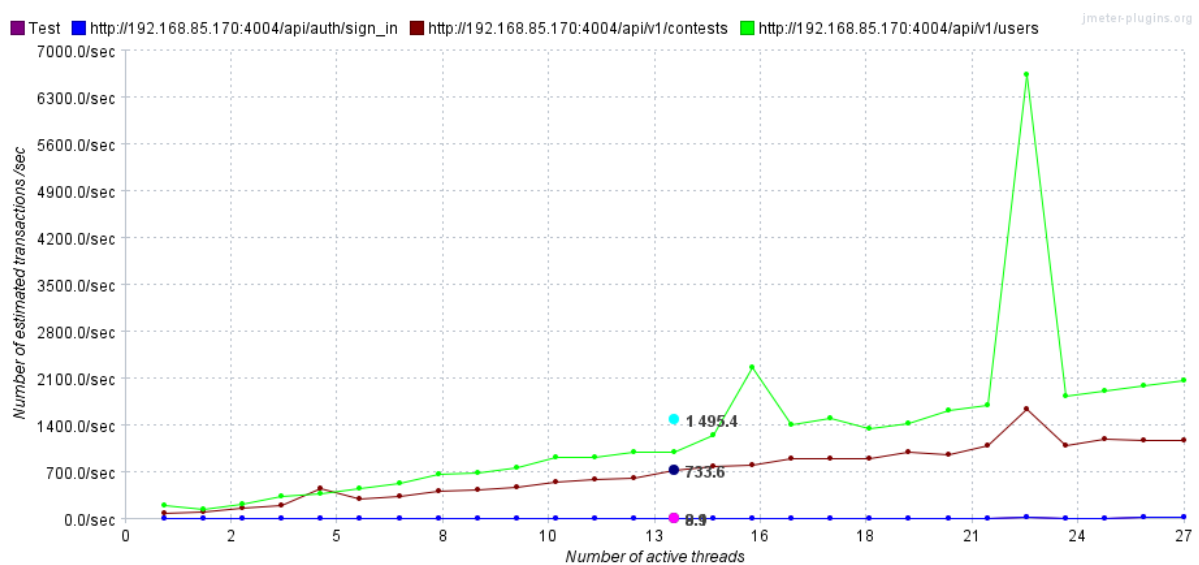


Figura 22. Transaction Throughput vs Threads sem arquitetura

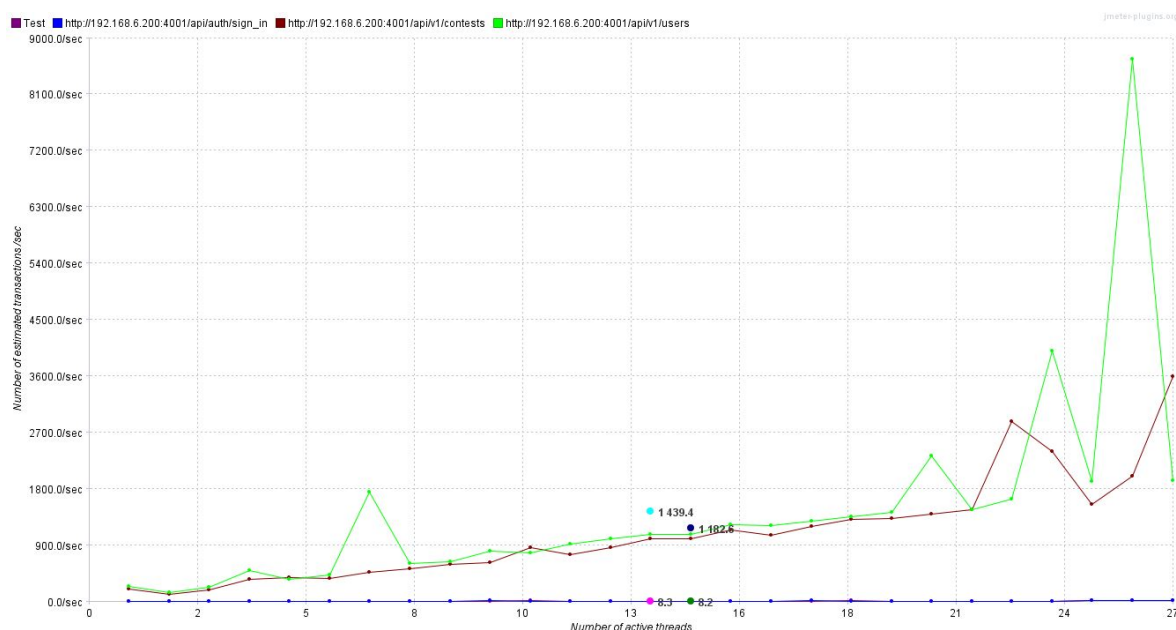


Figura 23. Transaction Throughput vs Threads com arquitetura

8.2 Candidatura

Este já é um processo mais complexo que engloba uma sequência de passos por parte do aluno, nomeadamente, o login, a escolha do *contest* pretendido e guardar uma *application*. Sendo que neste teste mantivemos o número de alunos e o número de threads, ou seja, 30.

Através do gráfico da **Figura 24** e **Figura 25** conseguimos perceber o número de transações efetuadas por segundo das várias operações que envolvem a sequência definida. Tal como para o teste do login, o número de transações é inferior com implementação da arquitetura, embora a diferença não seja tão significativa.

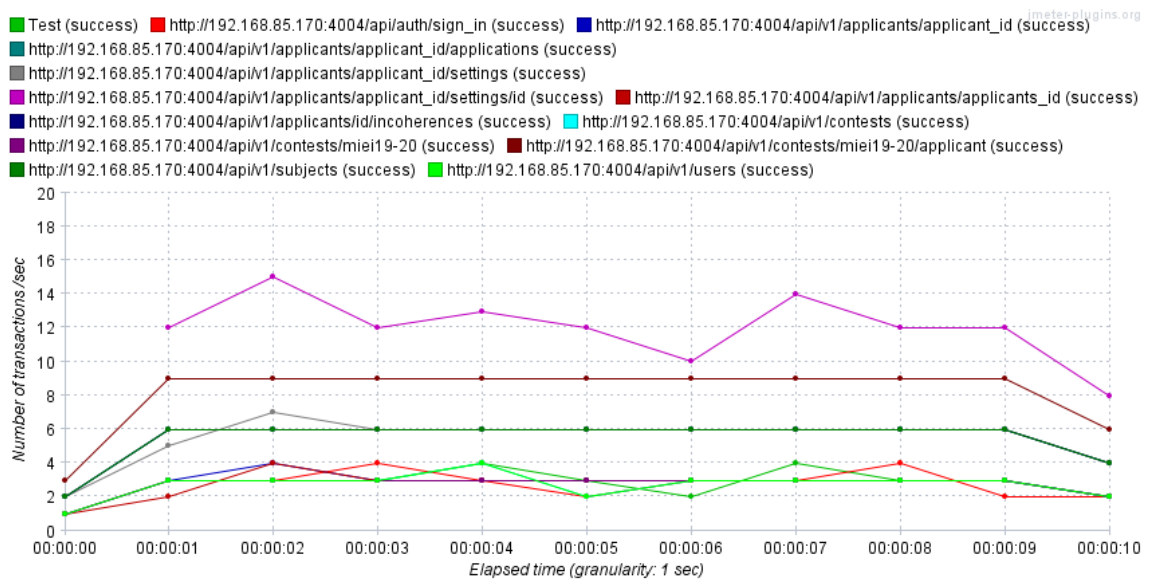


Figura 24. Transactions per second sem arquitetura

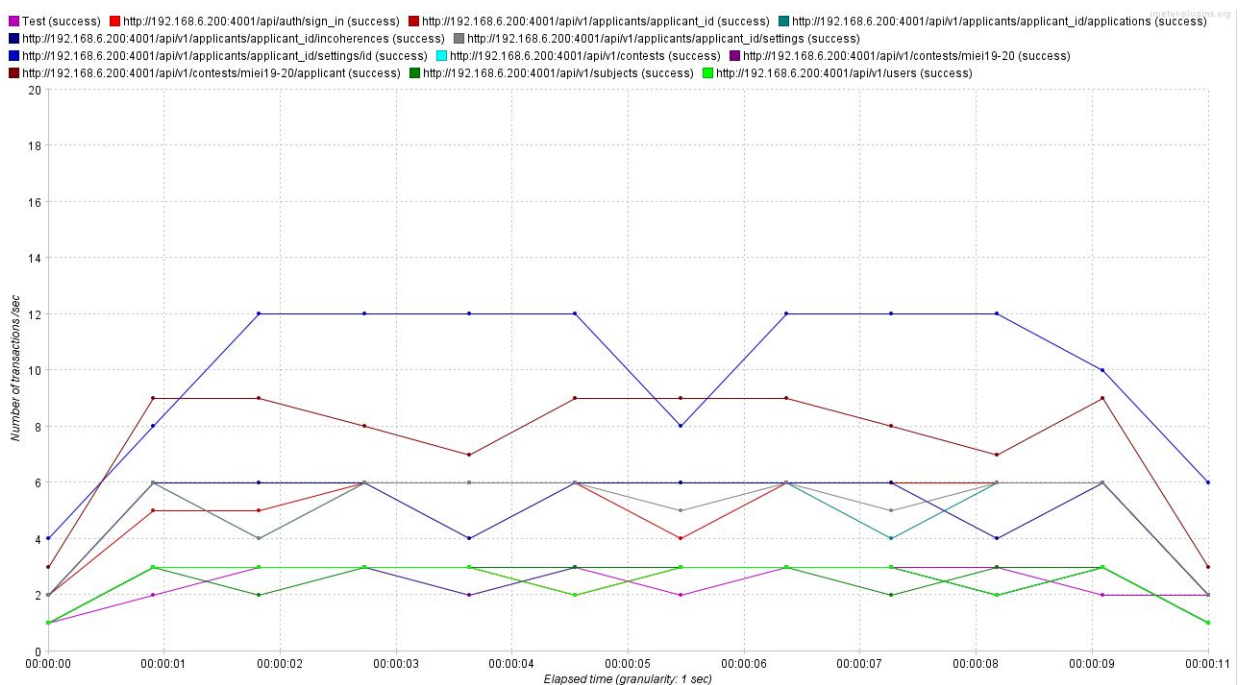


Figura 25. Transactions per second com arquitetura

Este teste da candidatura é constituído por uma sequência de operações, pelo que os gráficos ilustrados na **Figura 26** e **Figura 27** apresentam a latência destes. Assim sendo, verificamos que de um modo geral o comportamento é semelhante, embora para algumas operações, como por exemplo para as *subjects* verifica-se uma maior variação.

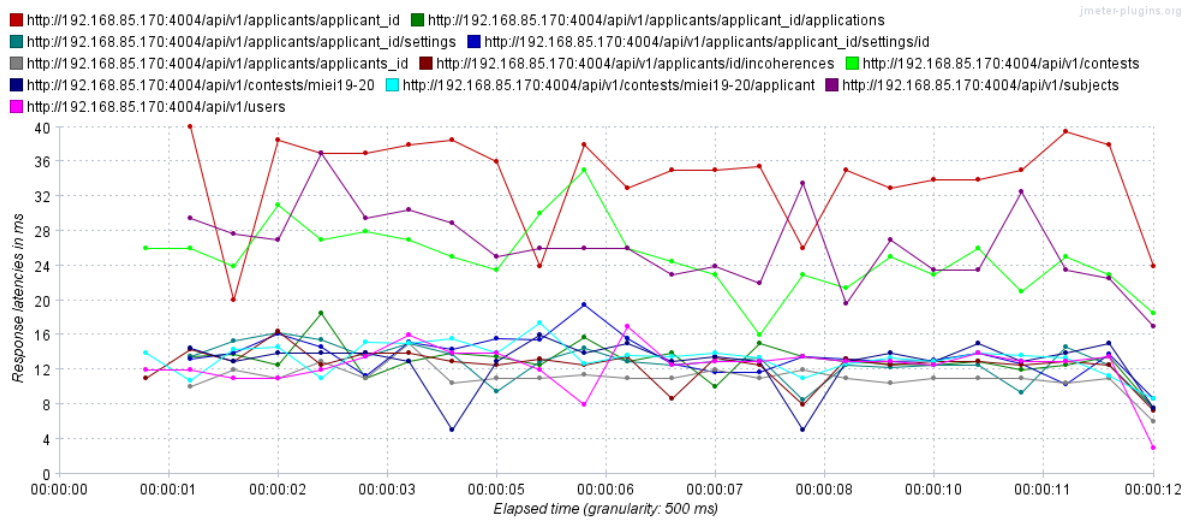


Figura 26. Response Latencies Over Time sem arquitetura

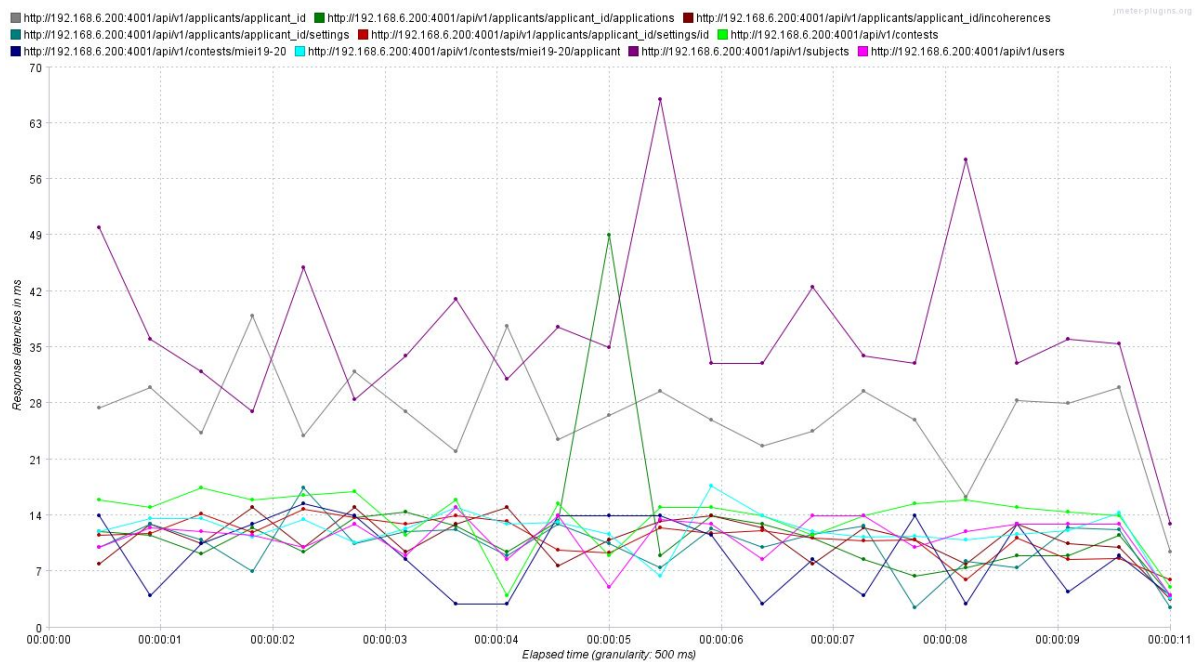


Figura 27. Response Latencies Over Time com arquitetura

Como já foi referido anteriormente, este teste corresponde a uma sequência, sendo que o tempo de resposta difere consoante o passo correspondente. Tendo em conta os diferentes passos executados, constatamos através da **Figura 28** e **Figura 29** que grande parte das operações possui um comportamento semelhante encontrando-se na mesma gama de valores. Contudo existem algumas exceções, como por exemplo as *subjects* em que o tempo de resposta é superior com a implementação da arquitetura. É também

possível visualizar que algumas linhas apesar de serem semelhantes apresentam picos localizados.

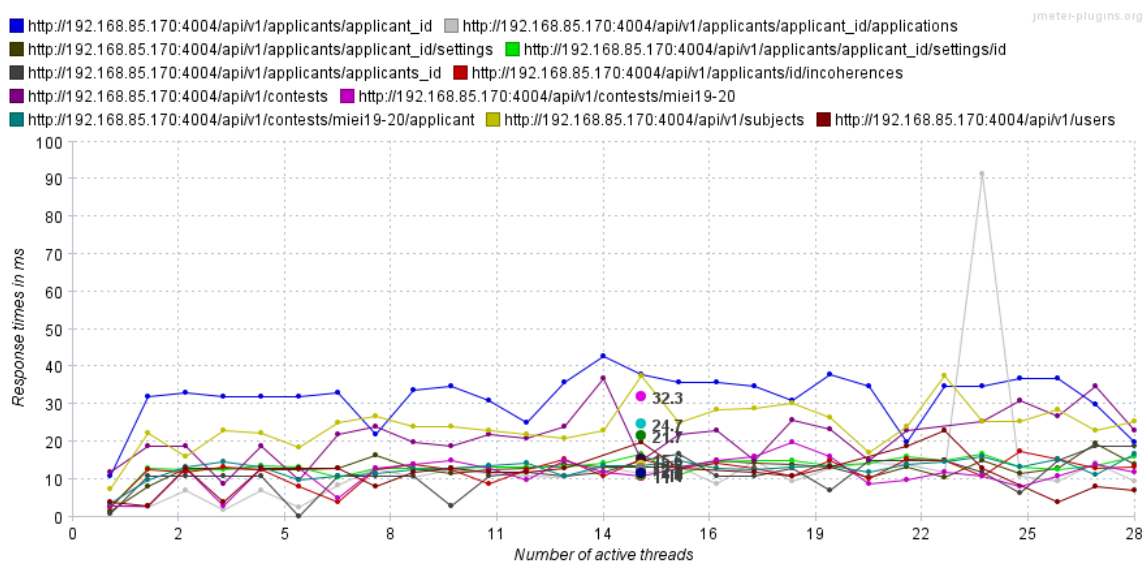


Figura 28. Response Time vs Threads sem arquitetura

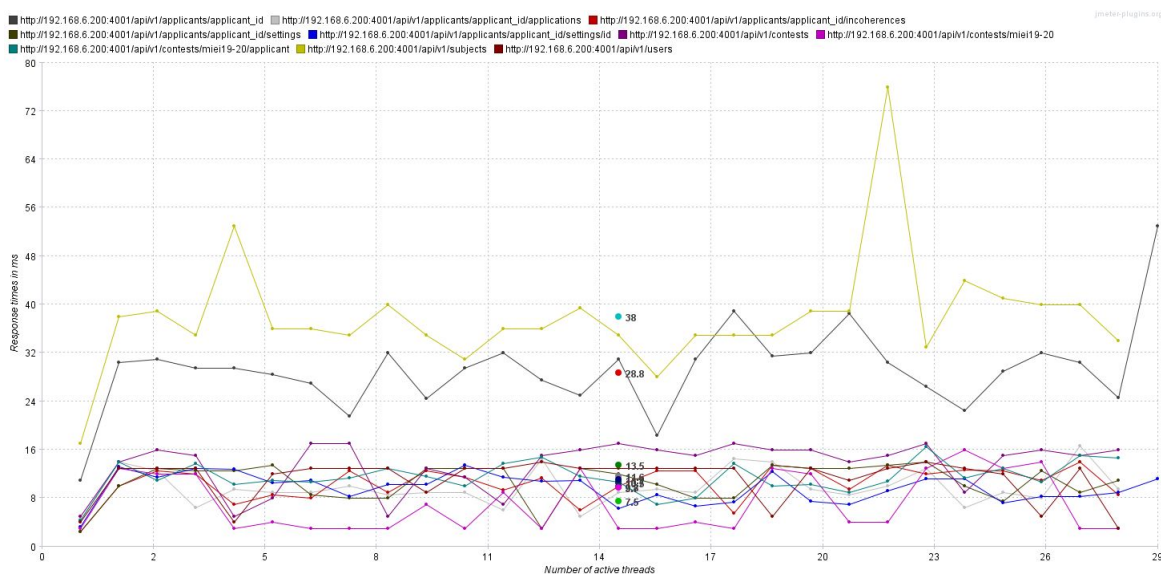


Figura 29. Response Time vs Threads com arquitetura

Através da observação da **Figura 30** e **Figura 31**, verificamos que de uma forma generalizada o comportamento em ambas as situações é semelhante, sendo que o intervalo do número de transações é idêntico. Contudo, sendo este um conjunto de operações é possível verificar umas pequenas variações em algumas.

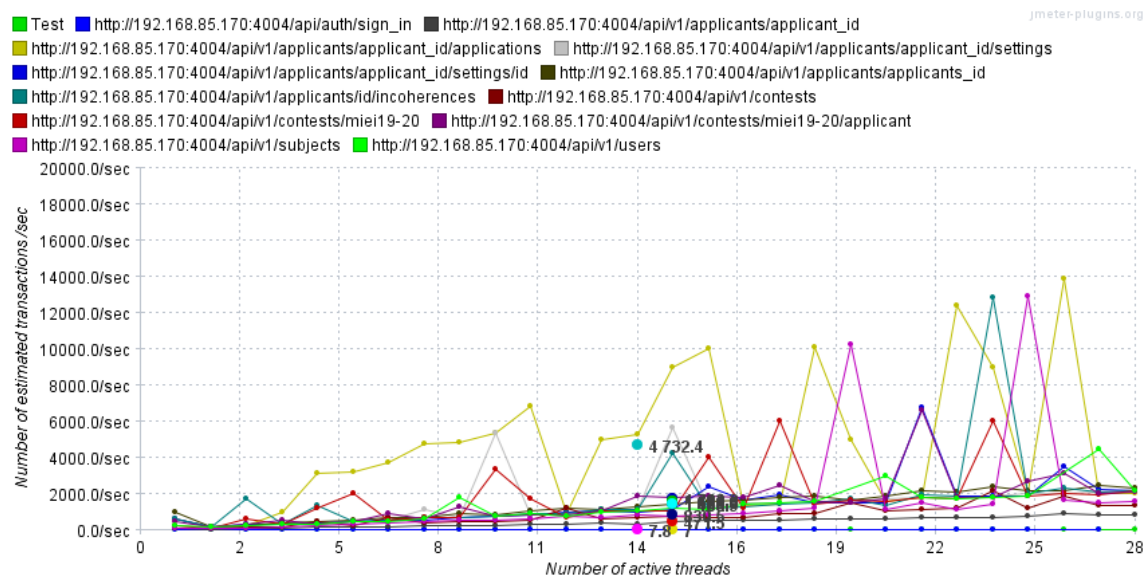


Figura 30. Transaction Throughput vs Threads sem arquitetura

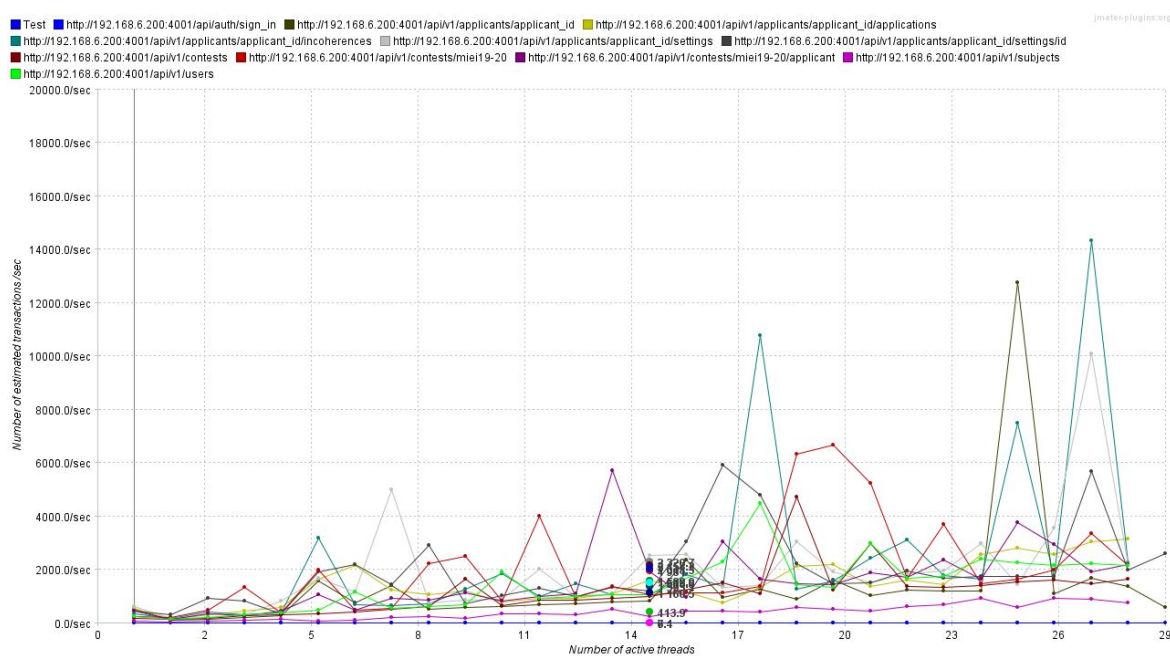


Figura 31. Transaction Throughput vs Threads sem arquitetura

8.3 Resultados da Candidatura

Por fim, testamos o processo de obtenção dos resultados e envio dos mesmos por parte de um *manager*, como tal apenas temos uma thread.

Pela observação dos gráficos da **Figura 32** e **Figura 33**, verificamos que o comportamento difere para algumas operações. Contudo a gama de valores em que se encontra o número de transações é o mesmo em ambos.

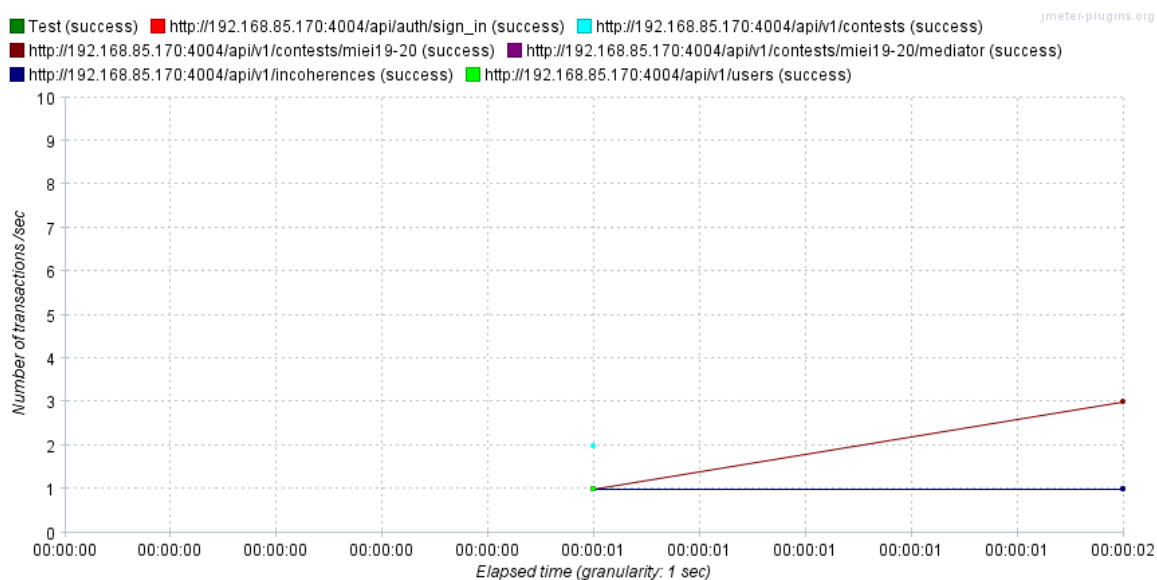


Figura 32. Transactions per second sem arquitetura

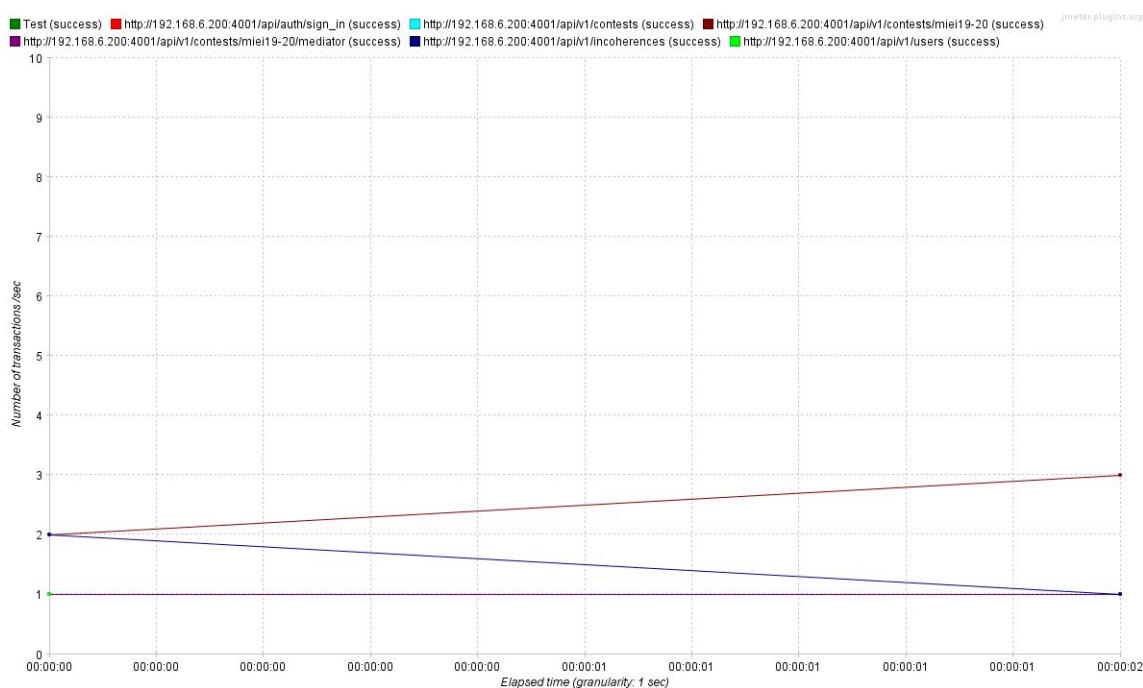


Figura 33. Response Latencies Over Time com arquitetura

Através da visualização da **Figura 34** e **Figura 35** foi possível verificar que os

gráficos apresentam um comportamento igual, sendo os tempos de resposta obtidos muito semelhantes em ambas situações.

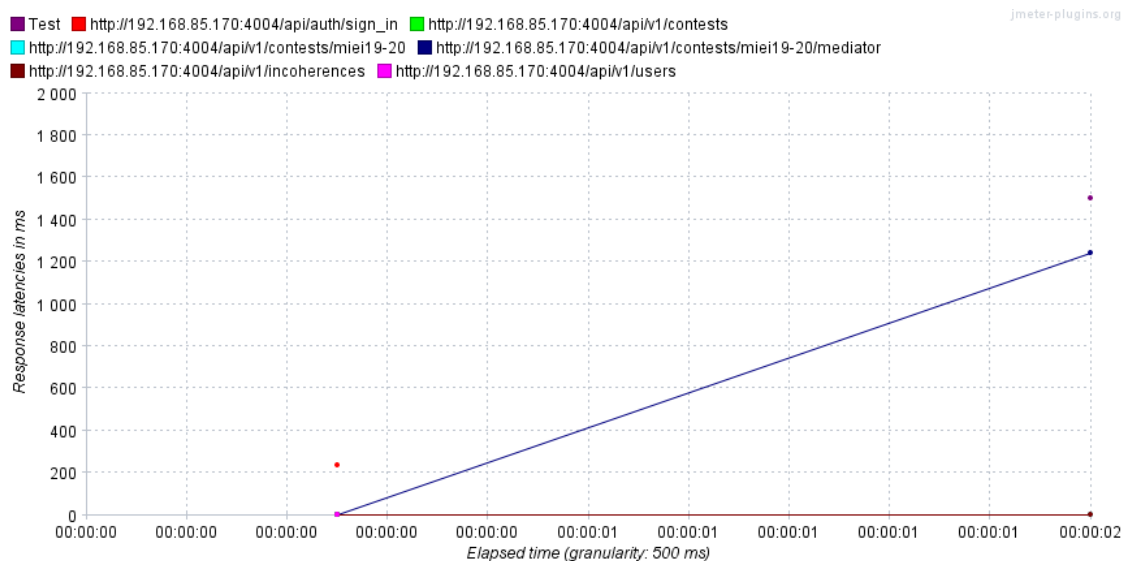


Figura 34. Response Latencies Over Time sem arquitetura

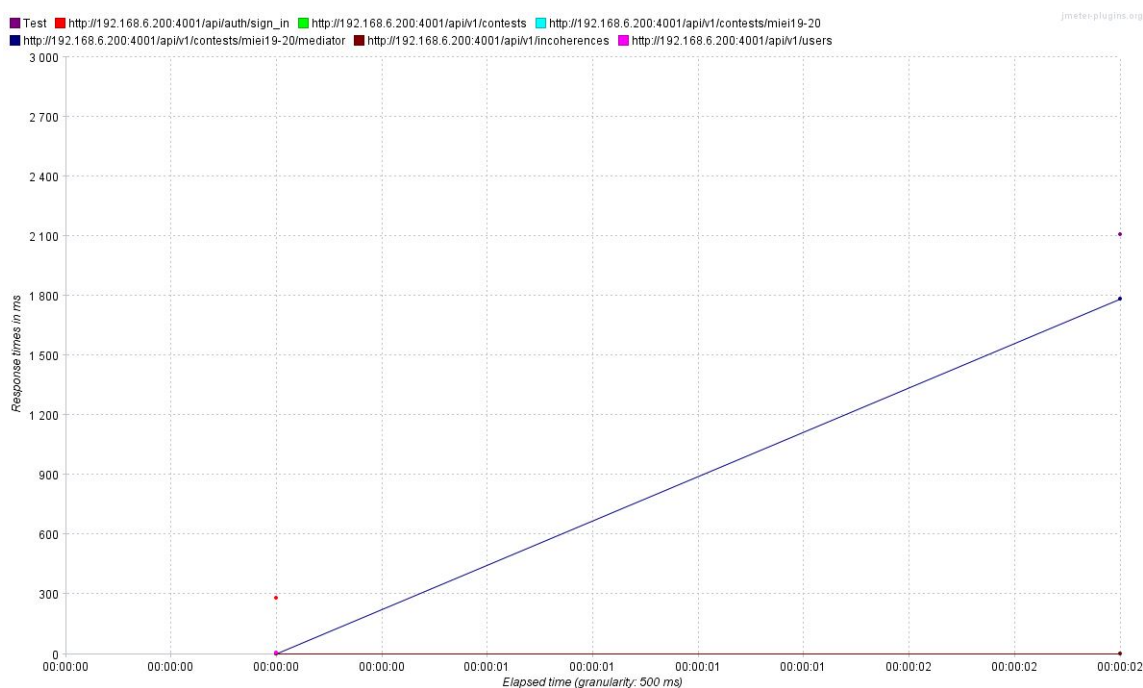


Figura 35. Response Latencies Over Time com arquitetura

9 Conclusão

Com a realização deste trabalho foi possível aplicar os conhecimentos adquiridos na unidade curricular de Infraestrutura de Centro de Dados. Assim sendo, consolidamos as noções sobre a alta disponibilidade de infraestruturas e escalabilidade das mesmas.

A arquitetura implementada permitiu que o serviço fosse escalável e sem SPOFs, que constituíam os principais objetivos do projeto. Em caso de necessidade de uma maior resposta aos utilizadores do sistema é possível modificá-lo através da adição de novas máquinas, que são transparentes aos mesmos, o que permite a alta escalabilidade da infraestrutura. De forma a garantir a alta disponibilidade dos serviços implementamos um *High Availability Cluster*.

Por último de modo a avaliar o desempenho da aplicação e da infraestrutura implementada recorreremos à ferramenta *Apache JMeter* que é uma das mais utilizadas para a realização de testes de carga. Com o intuito de analisar e avaliar o desempenho das diversas funcionalidades do *Tucano* desenvolvemos três cenários de teste diferentes. Estes testes foram executados antes e depois da implementação da arquitetura, de modo a poder comparar os resultados obtidos.